



## 气相色谱 – 热能分析仪法测定缬沙坦及其制剂中的 N- 二甲基亚硝胺

咸瑞卿<sup>1</sup>, 巩丽萍<sup>1</sup>, 邢晟<sup>1</sup>, 石晓玥<sup>2</sup>, 胡德福<sup>1\*</sup>, 石峰<sup>1\*</sup>

(1. 山东省食品药品检验研究院, 济南 250101; 2. 中国药科大学, 南京 210009)

**摘要** 目的: 建立气相色谱 – 热能分析法 (GC-TEA 法) 检测缬沙坦原料药及其制剂中 N- 二甲基亚硝胺 (NDMA) 含量。方法: 色谱条件, 采用 INERTTROAP-WAX (30 m × 0.32 mm × 0.5 μm) 毛细管气相色谱柱, 柱温为程序升温 (初始温 60 °C, 保持 2 min, 以 10 °C · min⁻¹ 升至 120 °C, 保持 1 min, 以 50 °C · min⁻¹ 升至 200 °C, 保持 2 min), 进样口温度 230 °C, 不分流进样, 进样量 0.5 μL; 热能分析仪条件, 接口温度 250 °C, 热解室温度 500 °C, 真空度 59.85~66.5 Pa, 氧气压力 13.79 kPa; 臭氧水平 244 (22.8 V)。结果: 方法的专属性强, N- 二甲基亚硝胺质量浓度在 10~1 000 ng · mL⁻¹ 的范围内呈线性 ( $r=1.000, n=8$ ), 检测下限为 3 ng · mL⁻¹; 13 批样品中 NDMA 含量为 0~87.09 × 10⁻⁶。结论: 本方法可用于缬沙坦及其制剂中的 NDMA 检测。

**关键词:** 缬沙坦; N- 二甲基亚硝胺; 气相色谱; 热能分析仪

中图分类号: R 917

文献标识码: A

文章编号: 0254-1793 (2019) 06-1501-05

doi: 10.16155/j.0254-1793.2019.08.21

## Determination of N-dimethylnitrosamine in valsartan and its preparation by GC-TEA

XIAN Rui-qing<sup>1</sup>, GONG Li-ping<sup>1</sup>, XING Sheng<sup>1</sup>,  
SHI Xiao-yue<sup>2</sup>, HU De-fu<sup>1\*</sup>, SHI Feng<sup>1\*</sup>

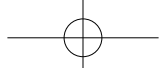
(1. Shandong Institute for Food and Drug Control, Jinan 250101, China; 2. China Pharmaceutical University, Nanjing 21009, China)

**Abstract Objective:** To establish a method based on gas chromatography–thermal energy analyzer method (GC-TEA) to detect the content of N-dimethylnitrosamine (NDMA) in valsartan bulk drug and its preparation. **Methods:** Chromatography were performed on a column of INERTTROAP-WAX (30 m × 0.32 mm × 0.5 μm) capillary gas chromatography column, the column temperature was programmed to be 60 °C for 2 minutes, and then was raised at a rate of 10 °C · min⁻¹ to 120 °C and held for 1 min, and was finally raised at a rate of 50 °C · min⁻¹ to 230 °C and held for 2 min. Inlet temperature was 230 °C, the injection volume was 0.5 μL with splitless injection; The thermal analyzer conditions were, interface temperature of 250 °C, pyrolysis chamber temperature of 500 °C. The degree of vacuum was 59.85 to 66.5 Pa, the oxygen pressure was 13.79 kPa, and the ozone level was 244 (22.8 V).

\* 通信作者 胡德福 Tel: 13553181376; E-mail: hudefu@sdfda.gov.cn

石 峰 Tel: 13953175123; E-mail: 13953175123@139.com

第一作者 Tel: 13589097040; E-mail: xianruiqing@126.com



**Results:** The method was specific. The NDMA had a good linear relationship in the range of 10~1 000 ng·mL<sup>-1</sup> ( $r=1.000$ ,  $n=8$ ), and the minimum detection limit was 3 ng·mL<sup>-1</sup>; The NDMA content in 13 batches of sample was 0~87.09 × 10<sup>-6</sup>.

**Conclusion:** The established method can be used for the determination of NDMA in valsartan and its preparations.

**Keywords:** valsartan; *N*-dimethylnitrosamine (NDMA); gas chromatography; thermal energy analyzer

*N*-二甲基亚硝胺(*N*-dimethylnitrosamine, NDMA),又名*N*-亚硝基二甲胺,具有很强的肝脏毒性,世界卫生组织将其划分为2A类致癌物质<sup>[1-4]</sup>。近期在全球市场主流的降压药物缬沙坦中检出超量的NDMA,严重威胁患者的生命健康,全球20多个国家和地区紧急召回缬沙坦原料及制剂,成为全球关注的“缬沙坦事件”。

目前,NDMA的检测方法主要为气相色谱质谱法<sup>[5-9]</sup>、液相色谱法质谱法<sup>[10-11]</sup>、气相色谱热能分析仪法<sup>[12-13]</sup>,主要应用于食品、化妆品和烟草行业。国内外对药品中NDMA检测方法的研究报道较少<sup>[14-15]</sup>,本研究建立了利用气相色谱-热能分析仪法测定缬沙坦及其制剂中NDMA的方法,该方法前处理方法简单,专属性强,重复性好,灵敏度高。

## 1 仪器与试药

Ellutia 800系列热能分析仪(Ellutia公司),INERTROAP-WAX(30 m×0.32 mm×0.5 μm)(岛津公司);NDMA标准储备液溶液(100 μg·mL<sup>-1</sup>,AccusStandard公司);甲醇(色谱纯,默克公司);缬沙坦原料药4批(批号VST20180601、64617090604、0101220170804、C5356-17-037)、缬沙坦分散片(批号180302、180303、170303、36180520)、缬沙坦氢氯噻嗪分散片(批号180648、180649)、缬沙坦氢氯噻嗪胶囊(批号180524521、180525521)、市售缬沙坦氢氯噻嗪片(批号37180502)均购于药店。

## 2 方法与结果

### 2.1 色谱条件

色谱柱:INERTCAP-WAX(30 m×0.32 mm×0.5 μm);进样口温度:220 °C;进样方式:不分流进样;进样量:0.5 μL;载气:氮气(纯度>99.999%),流速为1.0 mL·min<sup>-1</sup>;程序升温:初温为60 °C,保持2 min,以10 °C·min<sup>-1</sup>升至120 °C,保持1 min,以50 °C·min<sup>-1</sup>升至200 °C,保持2 min。

### 2.2 热能分析仪条件

接口温度:250 °C;热解室温度:500 °C;真空度:59.85~66.5 Pa;氧气压力:13.79 kPa;臭氧水平:244(22.8 V)。

## 2.2 溶液制备

**2.2.1 对照品溶液** 精密量取NDMA标准储备液溶液(100 μg·mL<sup>-1</sup>)适量,用甲醇稀释制成30 ng·mL<sup>-1</sup>的对照品溶液。

**2.2.2 供试品溶液** 原料药:精密称取缬沙坦原料1 g,置10 mL量瓶中,加甲醇适量溶解并稀释至刻度,摇匀,滤过,即得。

制剂:精密称取缬沙坦制剂粉末2.5 g,用甲醇10 mL分2次提取,合并提取液置10 mL量瓶中,加甲醇定容至刻度,摇匀,滤过,即得。

## 2.3 专属性

分别精密量取空白辅料溶液、氢氯噻嗪溶液、甲醇及样品溶液各0.5 μL,按照“2.1”项下条件进样测定,记录色谱图(见图1)。NDMA出峰时间约为6.4 min,相同保留时间处各溶液均无干扰峰。

## 2.4 线性关系考察

精密量取NDMA标准储备液溶液(100 μg·mL<sup>-1</sup>)适量,用甲醇稀释制成10、20、30、50、100、200、500、1 000 ng·mL<sup>-1</sup>系列浓度的标准曲线溶液。进样检测,记录色谱图,以NDMA浓度( $C$ , ng·mL<sup>-1</sup>)为横坐标,峰面积( $A$ )为纵坐标,进行线性回归,得线性方程( $n=8$ ):

$$A=12.61C+1.070 \quad r=1.000$$

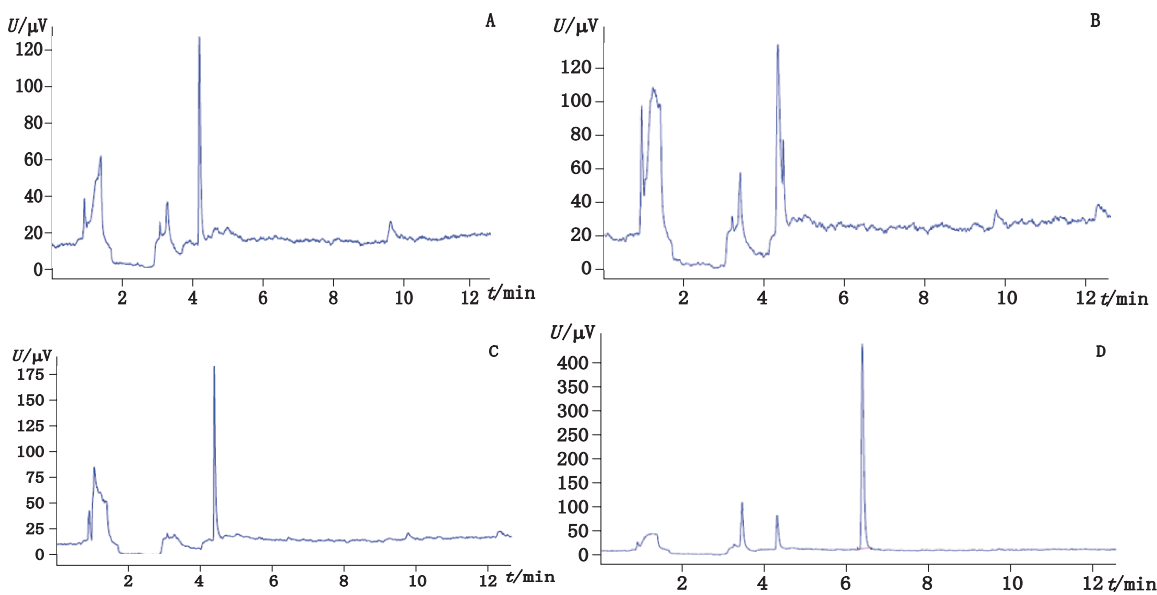
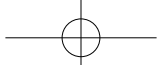
NDMA在浓度10~1 000 ng·mL<sup>-1</sup>范围内线性良好。

## 2.5 精密度

精密量取30 ng·mL<sup>-1</sup>的线性试验用标准曲线溶液0.5 μL,注入GC-TEA,连续进样6次,记录色谱图,峰面积RSD为0.75%,表明仪器精密度良好。

## 2.6 重复性

取含NDMA的样品(缬沙坦氢氯噻嗪胶囊,批号180525521)适量,精密称定,照“2.2.2”项下方法制备供试品溶液,平行制备6份,按照“2.1”项下条件进样测定,记录色谱图,按外标法计算,NDMA含量分别为0.060 5、0.061 1、0.059 8、0.060 8、0.059 4、0.061 2 × 10<sup>-6</sup>,RSD为1.2%,表明方法的重复性良好。



A. 辅料 (excipients) B. 氢氯噻嗪 (hydrochlorothiazide) C. 甲醇 (methanol) D. 阳性样品 (positive samples)

图 1 专属性试验色谱图

Fig. 1 Chromatograms of method specificity tests for determination of NDMA

## 2.7 检测下限与定量下限

精密量取  $10 \text{ ng} \cdot \text{mL}^{-1}$  的线性试验用标准曲线溶液, 稀释一定倍数, 按信噪比 3:1 计算检测下限, 信噪比 10:1 计算定量下限, 结果仪器检测下限为

$3 \text{ ng} \cdot \text{mL}^{-1}$ , 定量下限为  $10 \text{ ng} \cdot \text{mL}^{-1}$ 。因此, 按照“2.2.2”项下方法, NDMA 的检出下限和定量下限在原料药中分别为  $0.03 \times 10^{-6}$  和  $0.1 \times 10^{-6}$ , 在制剂中分别为  $0.012 \times 10^{-6}$  和  $0.04 \times 10^{-6}$ 。

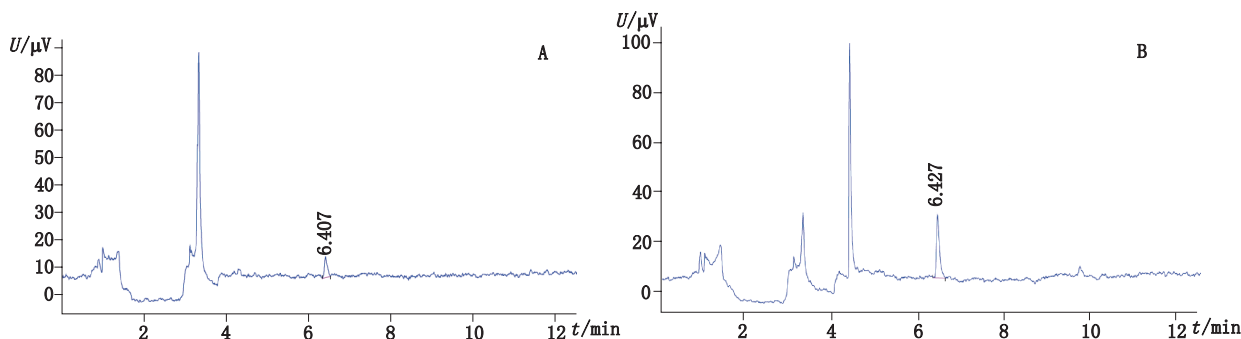


图 2 检测下限 (A) 与定量下限 (B) 色谱图

Fig. 2 Chromatograms of the LOD (A) and LOQ (B) tests for determination of NDMA

## 2.8 回收率

取已知 NDMA 含量的样品(缬沙坦氢氯噻嗪胶囊, 批号 180525521)适量, 精密称取 9 份, 分成 3 组, 分别加入一定量的 NDMA, 加甲醇适量溶解, 滤过, 制得低、中、高 3 个不同浓度的回收率试验用供试品溶液。按照“2.1”项下条件进样测定, 记录色谱图, 按外标法计算 NDMA 含量见表 1。试验结果表明, 3 个不同浓度的回收良好。

## 2.8 溶液稳定性

供试品溶液室温保存于棕色进样瓶中, 于 0、6、

12、24、48 h 分别进样, 峰面积 RSD 为 1.8%, 说明供试品溶液 48 h 稳定性良好。

## 2.10 样品检测

取收集的 13 批次缬沙坦原料及制剂, 按照“2.2.2”项制备供试品溶液, 按照“2.1”项下条件进样测定, 记录色谱图, 外标法计算 NDMA 含量。样品测定结果见表 2, 其中 3 批缬沙坦原料药、5 批含缬沙坦制剂中 NDMA 含量范围为  $0.41\sim 87.09 \times 10^{-6}$ , 超过欧盟暂定限度 ( $0.3 \times 10^{-6}$ )。

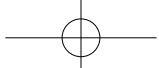


表 1 加样回收率试验结果

Tab. 1 Results of recovery test

| 含量<br>( content )/ng | 加入量<br>( added )/ng | 测得量<br>( found )/ng | 回收率<br>( recovery )/% | 平均值<br>( average )/% ( n=3 ) | RSD/<br>% |
|----------------------|---------------------|---------------------|-----------------------|------------------------------|-----------|
| 76.5                 | 80                  | 154.2               | 97.1                  | 94.6                         | 2.5       |
| 73.1                 | 80                  | 148.6               | 94.3                  |                              |           |
| 72.8                 | 80                  | 146.8               | 92.5                  |                              |           |
| 73.8                 | 250                 | 310.7               | 94.8                  | 97.7                         | 2.7       |
| 72.1                 | 250                 | 318.8               | 98.7                  |                              |           |
| 71.8                 | 250                 | 321.1               | 99.7                  |                              |           |
| 71.6                 | 400                 | 469.2               | 99.4                  | 99.0                         | 1.8       |
| 70.1                 | 400                 | 458.3               | 97.1                  |                              |           |
| 72.8                 | 400                 | 475.3               | 100.6                 |                              |           |

表 2 样品测定结果

Tab. 2 Results of sample determination

| 编号<br>( No. ) | 产品名称<br>( product name )  | 批号<br>( batches ) | 结果<br>( result )/×10 <sup>-6</sup> |
|---------------|---|-------------------|------------------------------------|
| 1             | 缬沙坦原料 ( valsartan raw material )                                | VST20180601       | 未检出 ( not detected )               |
| 2             | 缬沙坦原料 ( valsartan raw material )                                | 64617030606       | 0.53                               |
| 3             | 缬沙坦原料 ( valsartan raw material )                                | 0101220170804     | 2.28                               |
| 4             | 缬沙坦原料 ( valsartan raw material )                                | C5356-17-037      | 87.09                              |
| 5             | 缬沙坦分散片 ( valsartan dispersion tablets )                         | 170303            | 9.46                               |
| 6             | 缬沙坦分散片 ( valsartan dispersion tablets )                         | 180302            | 23.40                              |
| 7             | 缬沙坦分散片 ( valsartan dispersion tablets )                         | 180303            | 23.90                              |
| 8             | 缬沙坦分散片 ( valsartan dispersion tablets )                         | 36180520          | 未检出 ( not detected )               |
| 9             | 缬沙坦氢氯噻氢片 ( valsartan hydrochlorothiazine tablets )              | 37180502          | 0.04                               |
| 10            | 缬沙坦氢氯噻氢胶囊 ( valsartan hydrochlorothiazine capsules )            | 180524521         | 0.02                               |
| 11            | 缬沙坦氢氯噻氢胶囊 ( valsartan hydrochlorothiazine capsules )            | 180525521         | 0.06                               |
| 12            | 缬沙坦氢氯噻氢分散片 ( valsartan hydrochlorothiazine dispersion tablets ) | 180648            | 0.45                               |
| 13            | 缬沙坦氢氯噻氢分散片 ( valsartan hydrochlorothiazine dispersion tablets ) | 180649            | 0.41                               |

### 3 讨论

#### 3.1 热能分析仪测定 NDMA 的优势

热能分析仪能特异性催化裂解 N- 亚硝胺类化合物生成一氧化氮 ( NO ) 基团, 再与臭氧反应后, 利用光电倍增管检测产生的近红外光, 是 N- 亚硝胺类化合物的特异性检测器。热能分析仪结合气相色谱仪对硝胺进行分析, 具有高选择性和高灵敏度的特点。

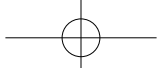
#### 3.2 前处理方法优选

目前文献报道的 NDMA 测定方法主要应用于

食品、烟草及化妆品, 前处理过程一般需蒸馏提取、萃取净化、蒸发浓缩等过程, 操作繁琐。本研究根据缬沙坦和 NDMA 在甲醇中均易溶解的特点, 以甲醇为溶剂, 无需净化直接进样分析, 前处理简单、重复性好。

#### 3.3 不同测定方法对比

参考国家药典委员会《关于缬沙坦国家标准修订稿的公示》, 采用 GC-MS 法检测缬沙坦中 NDMA, 定量离子为 74, 定性离子为 43 和 42, 结果显示 GC-MS 与 GC-TEA 2 种测定方法结果无显著性差



异,但GC-MS法比GC-TEA特异性差,背景和基质干扰较多,定性定量离子保留时间附近有较多干扰色谱峰,影响低浓度样品的定性定量准确性。

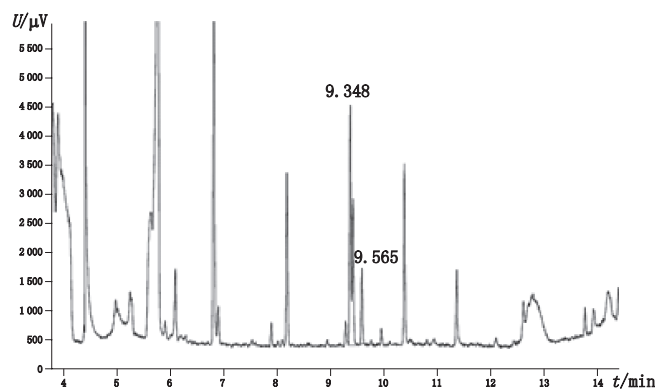


图3 GC-MS 提取离子图 ( $m/z$  74)

Fig. 3 Extraction chromatogram of the GC-MS for determination of NDMA

#### 参考文献

- [1] FRITSCHI L, BENKE G, RISCH HA, et al. Occupational exposure to *N*-nitrosamines and pesticides and risk of pancreatic cancer [J]. Occup Enviro Med, 2015, 72 (9): 678
- [2] JAKSZYN P. Endogenous versus exogenous exposure to *N*-nitroso compounds and gastric cancer risk in the European prospective investigation into cancer and nutrition (EPIC-EURGAST) study [J]. Carcinogenesis, 2006, 27 (7): 1497
- [3] 马俪珍, 南庆贤, 方长法. *N*-亚硝胺类化合物与食品安全性 [J]. 农产品加工学刊, 2006, 50 (12): 8  
MA LZ, NAN QX, FANG CF. *N*-nitrosamine compounds and food safety [J]. Aca Period Farm Products Proc, 2006, 150 (12): 8
- [4] BAKIRI L, WAGNER EF. Mouse models for liver cancer [J]. Mol Oncol, 2013, 7 (2): 206
- [5] GB5009. 26-2016 食品安全国家标准 食品中 *N*-亚硝胺类化合物的测定 [S]. 2016  
GB5009. 26-2016 National Food Safety Standards, Determination of *N*-nitrosamines in Foods [S]. 2016
- [6] 何淑娟, 赵丽敏, 李强, 等. 气相色谱-质谱法测定肉制品中的9种挥发性 *N*-亚硝胺类物质 [J]. 肉类研究, 2015, 29 (1): 27  
HE SJ, ZHAO LM, LI Q, et al. Determination of nine *N*-nitrosocompounds in meat products by gas chromatograph-mass spectrometry [J]. Meat Res, 2015, 29 (1): 27
- [7] 乔玲, 纪哈旭, 宋佳, 等. 肉制品中NDMA的测定 [J]. 现代食品, 2018, 1: 103  
QIAO L, JI HX, SONG J, et al. Determination of *N*-nitrosodimethylamine in meat products [J]. Mod Food, 2018, 1: 103
- [8] 徐赛男, 吴祖芳, 陈杰. 气相色谱-质谱联用法测定传统腌菜中的 *N*-亚硝胺 [J]. 食品与生物技术学报, 2015, 34 (11): 1162  
XU SN, WU ZF, CHEN J. Determination of *N*-nitrosamine compounds in traditional pickled vegetables by gas chromatography-mass spectrometry [J]. J Food Sci Biotechnol, 2015, 34 (11): 1162
- [9] ALANDRA K, DARRYL J, LISA L, et al. 气相色谱三重四极杆气质联用系统分析水样中的 *N*-亚硝基二甲胺 [J]. 环境化学, 2016, 35 (11): 2442  
ALANDRA K, DARRYL J, LISA L, et al. Analysis of *N*-nitrosodimethylamine (NDMA) in water using GC triplequadrupole mass spectrometr [J]. Envir Chem, 2016, 35 (11): 2442
- [10] 朱翔, 李伟, 刘玉灿, 等. 超高效液相色谱-三重四极杆质谱联用仪同时检测水中9种亚硝胺 [J]. 分析测试学报, 2014, 33 (8): 866  
ZHU X, LI W, LIU YC, et al. Determination of nine *N*-nitrosamines in water using ultra performance liquid chromatography-tandem mass spectrometry [J]. J Instrum Anal, 2014, 33 (8): 866
- [11] 简龙海, 孟茜, 陈丹丹, 等. 液相色谱-大气压化学离子化-串联质谱法测定化妆品中8种亚硝胺 [J]. 香料香精化妆品, 2015 (4): 59  
JIAN LH, MENG Q, CHEN DD, et al. Determination of eight nitrosamines in cosmetics by liquid chromatography-atmospheric pressure chemical ionization-tandem mass spectrometry [J]. Flav Fragr Cosm. 2015 (4): 59
- [12] 张红, 杨保刚. 气相色谱-热能分析仪测定水产品中 *N*-亚硝胺 [J]. 食品研究与开发, 2015, 35 (24): 125  
ZHANG H, YANG BG. Determination of volatile *N*-nitrosamines in aquatic products by thermal energy analyzer using gas chromatography [J]. Food Res Devel, 2015, 35 (24): 125
- [13] 邢昆明, 刘华, 王贻坤, 等. GC-TEA 同时测定化妆品中的5种挥发性亚硝胺 [J]. 安徽化工, 2016, 42 (6): 100  
XIN KM, LIU H, WANG YK, et al. Simultaneous determinations of five kinds of volatile nitrosamines in cosmetics by gas chromatography-thermal energy analyser [J]. Anhui Chem Ind, 2016, 42 (6): 100
- [14] 倪松, 崔颖, 姜涛, 等. 食品中 *N*-亚硝胺类化合物检测方法研究进展 [J]. 食品研究与开发, 2018, 39 (6): 215  
NI S, CUI Y, QIANG T, et al. research progress in detection methods of *N*-nitrosamines in foods [J]. Food Res Devel, 2018, 39 (6): 215
- [15] 董瑾, 刘爱华. *N*-二甲基亚硝胺检测研究进展 [J]. 现代食品, 2016, 4: 77  
DONG J, LIU AH. Research progress of NDMA detection [J]. Mod Food, 2016, 4: 77

(本文于2018年10月10日收到)